

FIG. 1

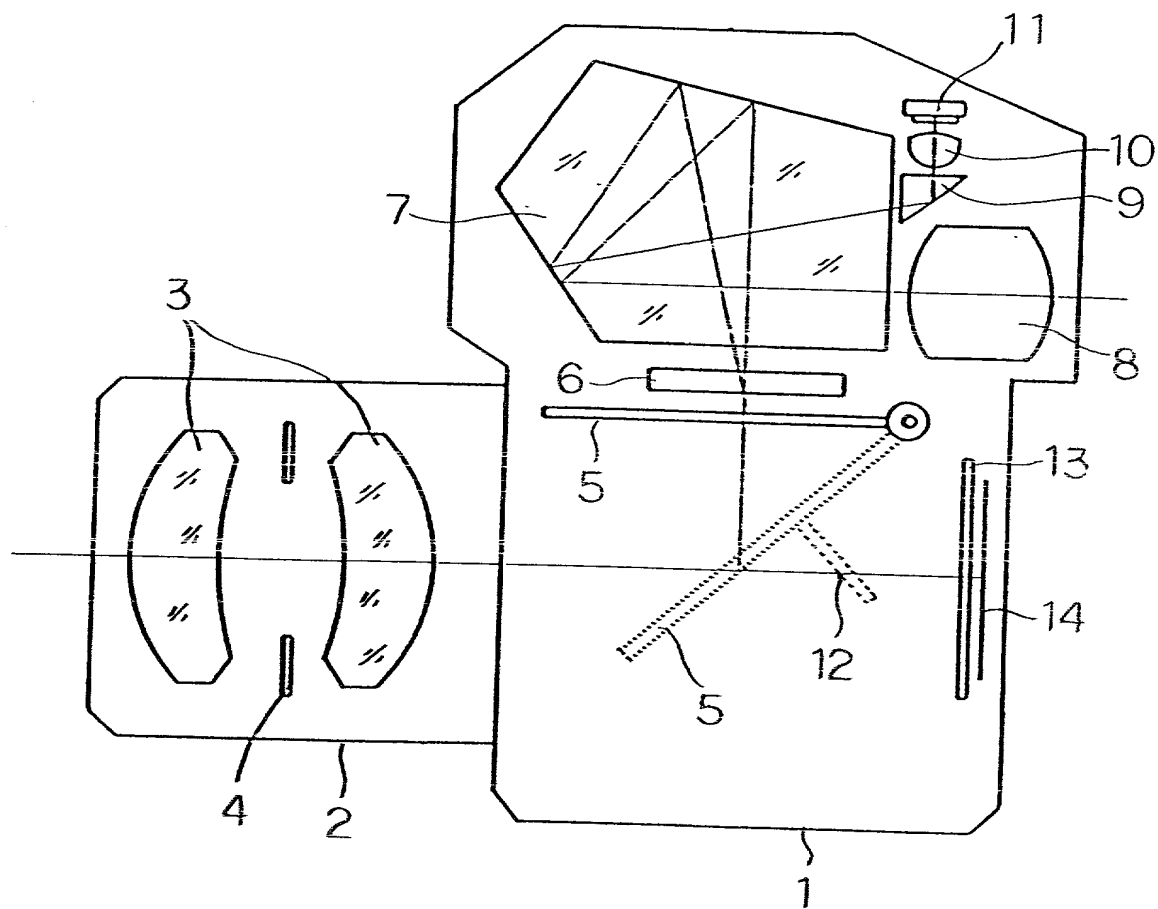


FIG. 2

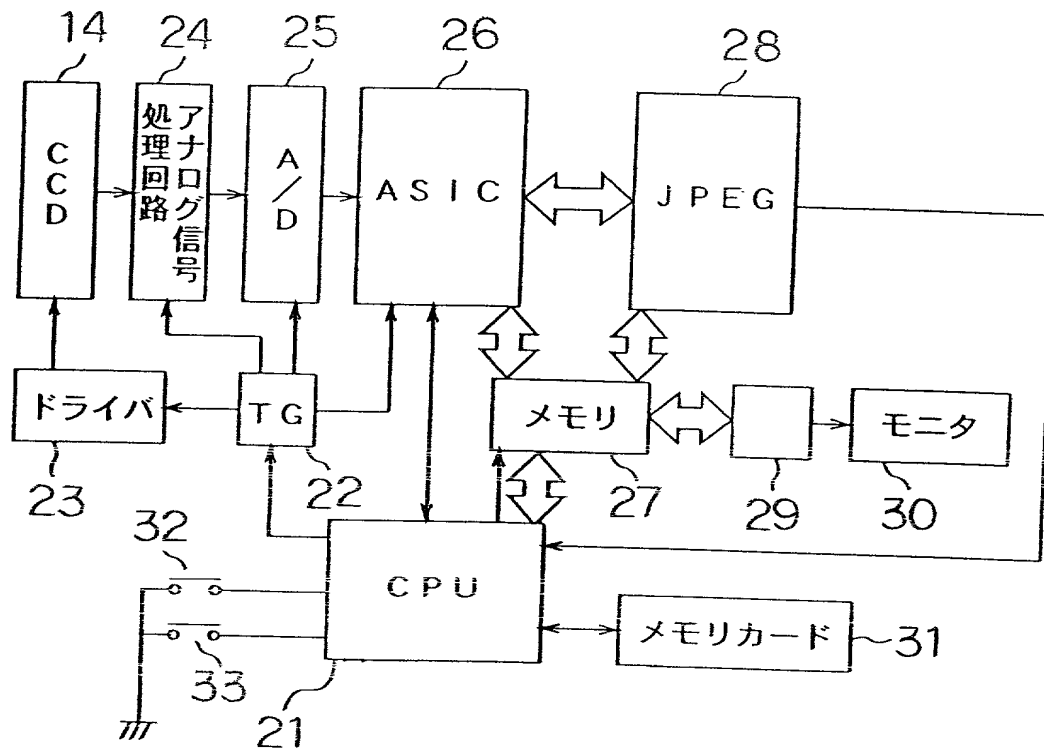


FIG. 3

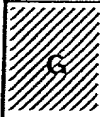



| | | | | | | | |
|--|---|---|---|---|--|---|-------|
|  G | B | G | B | G |  B | G | B ... |
| R | G | R | G | R | G | R | G ... |
| G | B | G | B | G | B | G | B ... |
| R | G | R | G | R | G | R | G ... |
| G | B | G | B | G | B | G | B ... |
|  R | G | R | G | R |  G | R | G ... |
| G | B | G | B | G | B | G | B ... |
| | | | | | | | |

FIG. 3

FIG. 4

| | | | | | | | |
|----|----|----|----|----|----|----|--------|
| G | Ye | G | Ye | G | Ye | G | Ye ... |
| Cy | Ma | Cy | Ma | Cy | Ma | Cy | Ma ... |
| G | Ye | G | Ye | G | Ye | G | Ye ... |
| Cy | Ma | Cy | Ma | Cy | Ma | Cy | Ma ... |
| G | Ye | G | Ye | G | Ye | G | Ye ... |
| Cy | Ma | Cy | Ma | Cy | Ma | Cy | Ma ... |
| G | Ye | G | Ye | G | Ye | G | Ye ... |
| | | | | | | | |

FIG. 5

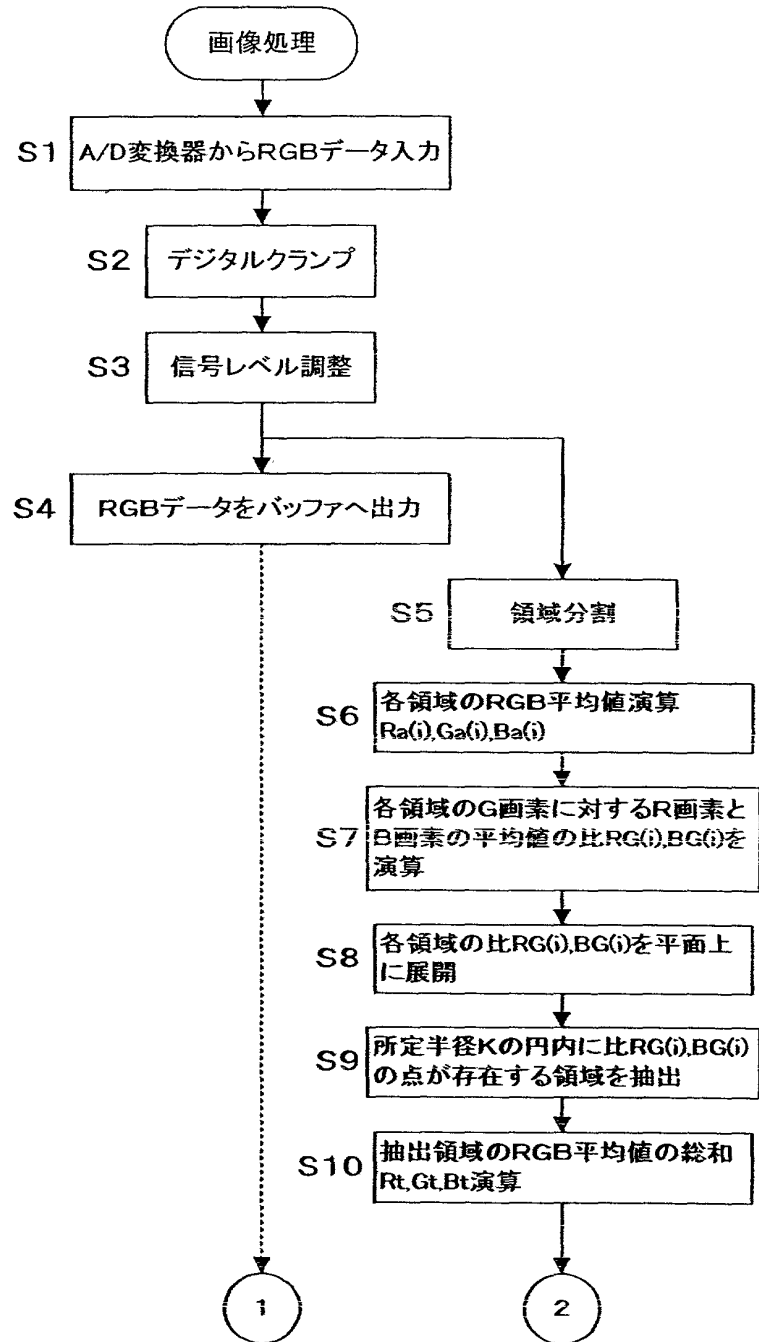


FIG. 6

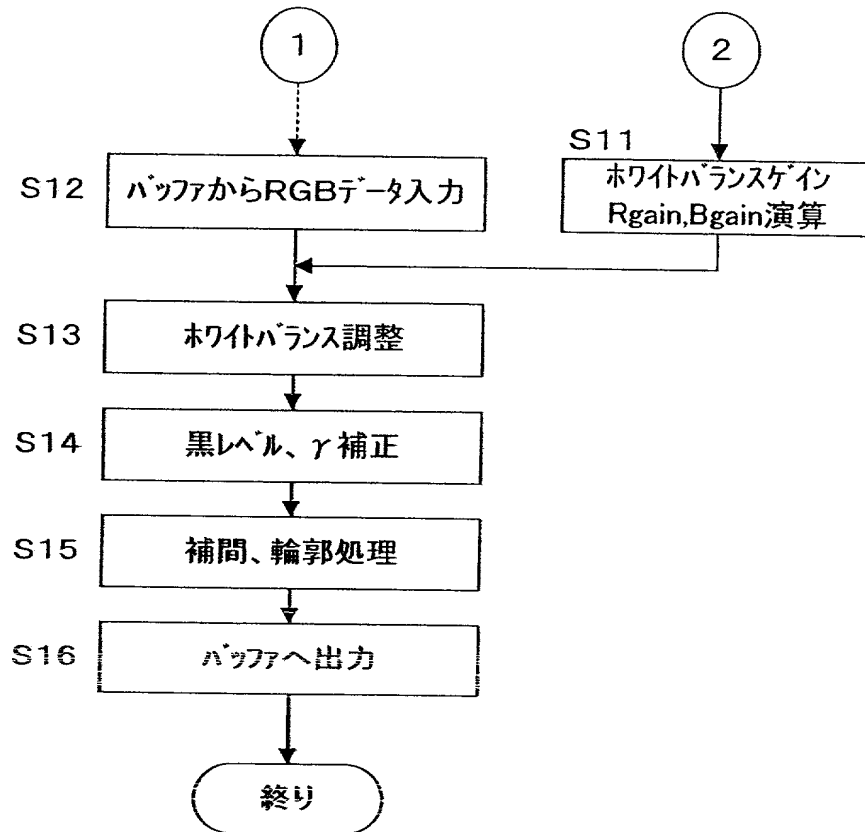


FIG. 7

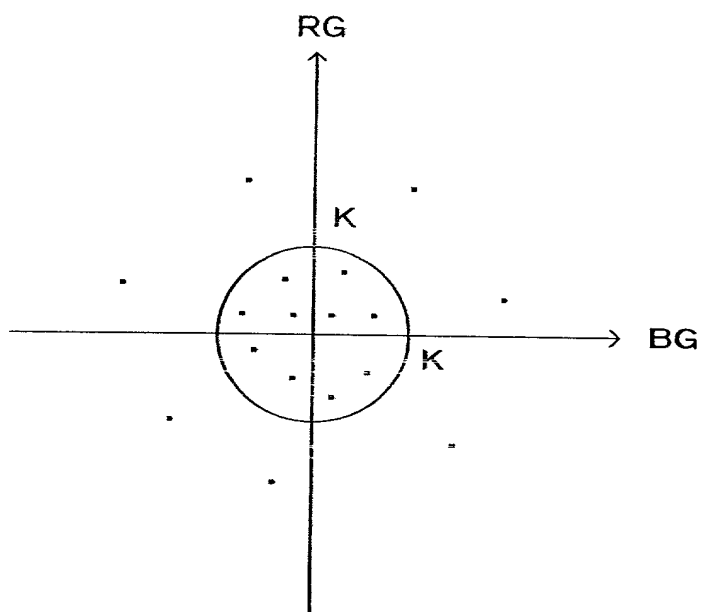


FIG. 8

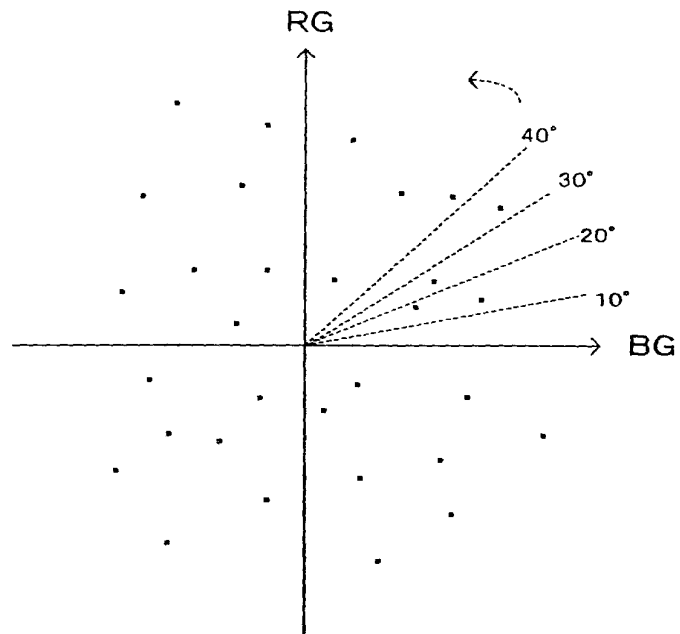


FIG. 9

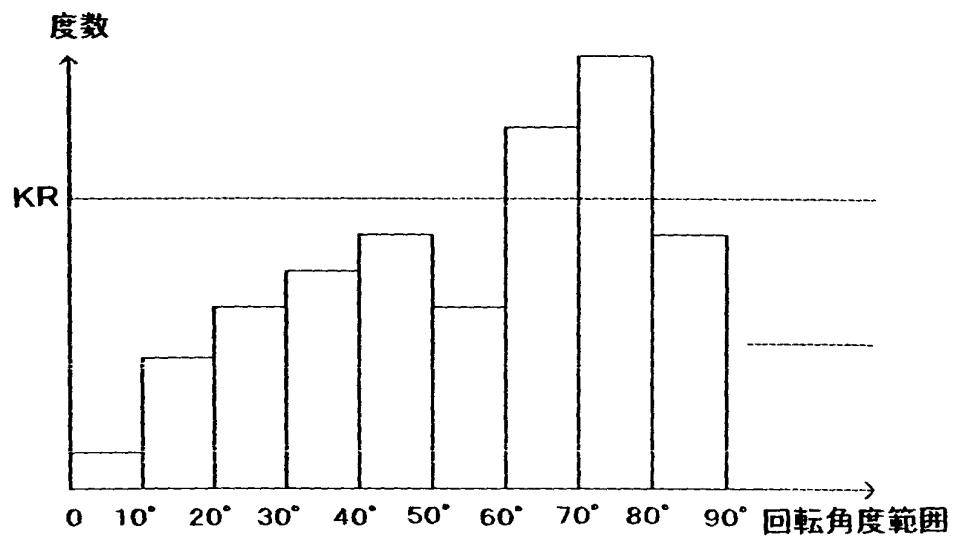


FIG.10

ステップS8

RG-BG座標系にプロットされる個数が所
定値KR未満の領域を抽出

ステップS10

FIG.11

ステップS5

各領域のG,Ye,Cy,Ma平均値
 $G_a(i), Y_{ea}(i), C_{ya}(i), M_{aa}(i)$ 演算 S6B

各画素のG画素に対するYe画素
と,Cy画素と、Ma画素の平均値の比
 $Y_{eG}(i), C_{yG}(i), M_{aG}(i)$ 演算 S7B

各領域の比 $Y_{eG}(i), C_{yG}(i), M_{aG}(i)$
を空間座標系に展開 S8B

半径 K' の球内に比 $Y_{eG}(i),$
 $C_{yG}(i), M_{aG}(i)$ の点が存在する領域
を抽出 S9B

抽出領域のG,Ye,Cy,Ma平均値の総和
 $G_t, Y_{et}, C_{yt}, M_{at}$ 演算 S10B

ホワイトバランスゲイン $Y_{e\text{ gain}},$
 $C_{y\text{ gain}}, M_{a\text{ gain}}$ 演算 S11

ステップS13

FIG.12

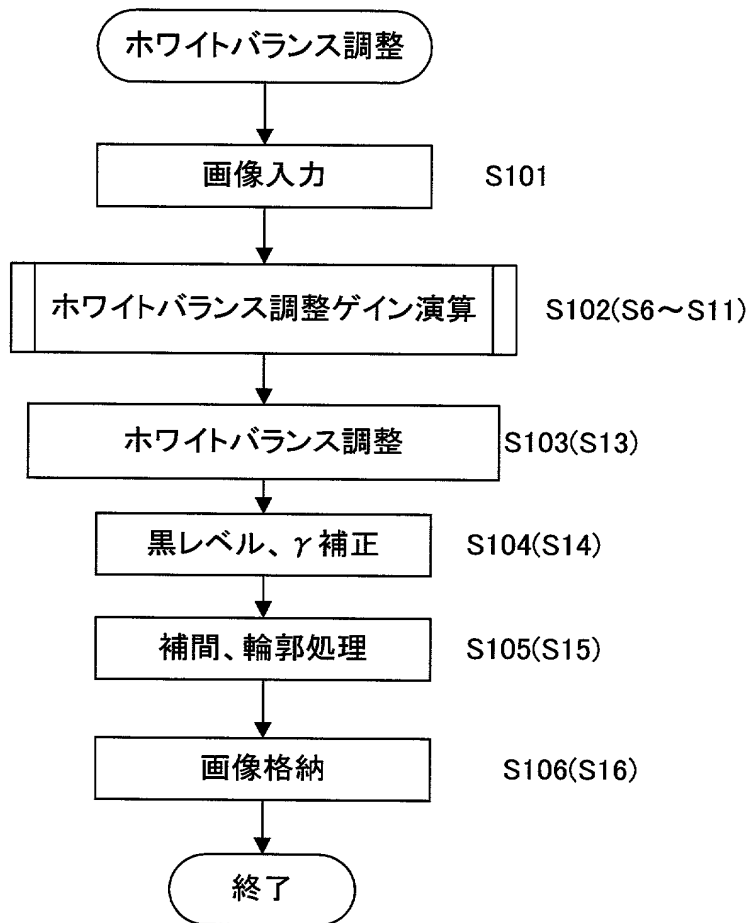


FIG. 13

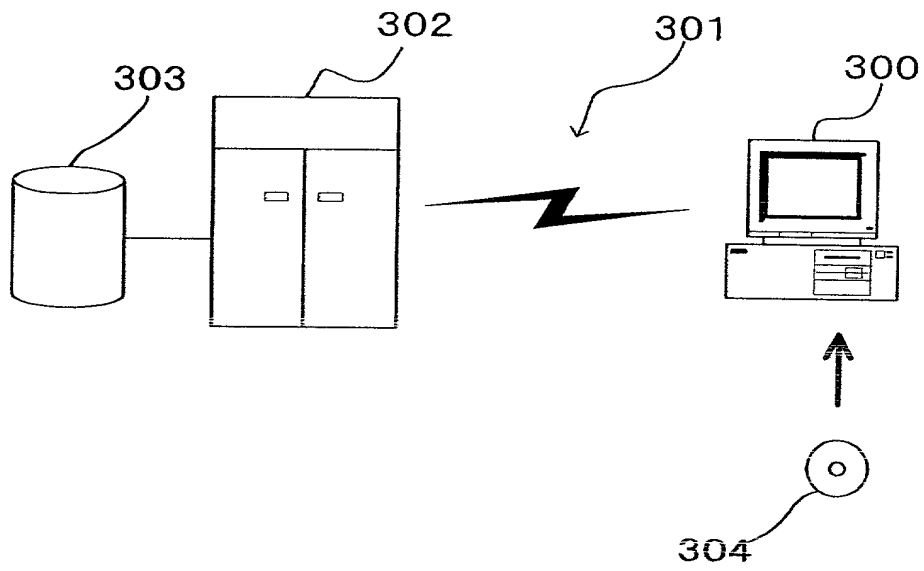


FIG. 14
PRIOR ART

